

Driving Moment 等を定積分で求めの解析とこれから見た Fellenius slice 法におけるすべり円中心のきめ方

道都短期大学 正会員 今井芳雄

§1. 前言. 円形すべり面の安全率を求める Fellenius の slice 法では slice の両側面には、内部応力を無しとするので、driving moment は slice の重量(質量)のみが関係し、内部摩擦力、粘着力等は関係しない。従って合計 driving moment はすべり円中心 O' と半径 R を定めて求めたものはそのまま変らないが、まさつ抵抗 moment、粘着力抵抗 moment は、土の強度を一定定めてから求めはするが変り得るわけである。このため一つの driving moment について達った安全率があるわけである。いざれにしても driving moment のすべり円に沿う分布が明らかになることは、すべり円中心 O' の選定にとって大切な事であらう。筆者はこの目的のため driving moment を定積分で求める解析を導いた。この定積分の図形はすべり円の両端に張る中心角 θ (radian) を底辺とする中高の山形である (Fig. 3.1G). 底辺幅がより広く山頂のより高い時面積がより広くなる。つまり driving moment がより大きくなるわけである。この理に合う様すべり円中心を先ず探しよいわけで、そう遊び離れたところには無いと云える。探し範囲が限定される。この時円中心 O' を通る鉛直線より左側に半径が出るとこの区間の slice はマイナス部分をもえるから、これがなるべく大きくならない様にする考慮も必要である。

§2. すべり円 moment の 定積分解析

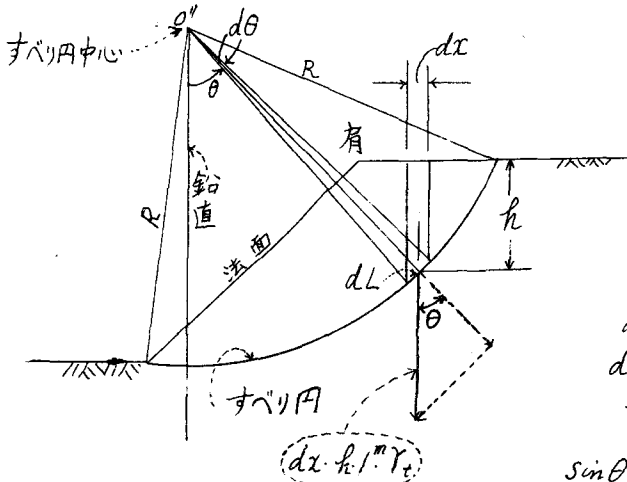


Fig. 2.1

$$\gamma_t = \text{土の単位体積重量(質量)}$$

$$\phi = \text{土の内部摩擦角}$$

$$C_0 = \text{土の粘着力}$$

$$dL = \text{微小円弧長} \\ = R \cdot d\theta$$

$$dx = R \cdot d\theta \cdot \cos \theta$$

$$dx \cdot h \cdot l^m \cdot \gamma_t = \text{幅 } dx \text{ 奥行 } l^m$$

$$\text{高さ } h \text{ の slice 重量}$$

$$\sin \theta = \frac{\tan \theta}{\sqrt{\tan^2 \theta + 1}} \quad \dots \dots \dots \quad (2.1)$$

$$\cos \theta = \frac{1}{\sqrt{\tan^2 \theta + 1}} \quad \dots \dots \dots \quad (2.2)$$

$$\sin \theta \cdot \cos \theta = \frac{\tan \theta}{\tan^2 \theta + 1} \quad \dots \dots \dots \quad (2.3)$$

$$\cos^2 \theta = \frac{1}{\tan^2 \theta + 1} \quad \dots \dots \dots \quad (2.4)$$

YOSHIO IMAI

高さ h , 幅 dx , 奥行 l^m , 單位体積重量 γ_t の slice 1 片の driving moment

$$= (h \cdot R \cdot d\theta \cdot \cos\theta \cdot \gamma_t \cdot \sin\theta) \times R \quad \dots \dots \dots (2.5)$$

$$= R^2 h \gamma_t \sin\theta \cos\theta \cdot d\theta \quad \dots \dots \dots (2.6)$$

これが(2.1)式・(2.2)式の関係をいれて

$$= R^2 h \gamma_t \frac{\tan\theta}{\tan^2\theta + 1} d\theta \quad \dots \dots \dots (2.7)$$

同様にして 幅 dx , 高さ h の slice のまさつ抵抗

$$moment = (h \cdot R \cdot d\theta \cdot \cos\theta \cdot \gamma_t \cos\theta \cdot \tan\phi) \times R \quad \dots \dots \dots (2.8)$$

これに(2.2)式の関係を入れて

$$= R^2 h \gamma_t \frac{\tan\phi}{\tan^2\theta + 1} d\theta \quad \dots \dots \dots (2.9)$$

幅 dx , 高さ h の slice の粘着抵抗 moment

$$= (R \cdot d\theta \cdot C_o) \times R \quad \dots \dots \dots (2.10)$$

$$= R^2 C_o \cdot d\theta \quad \text{ここで } C_o = \text{土の粘着力} \frac{N}{m^2} \quad \dots \dots \dots (2.11)$$

全 slice の driving moment は(2.7)式の、すべり円全長に亘る定積分として求められる

$$= \int_0^{2\pi} R^2 h \gamma_t \frac{\tan\theta}{\tan^2\theta + 1} d\theta \quad \dots \dots \dots (2.12)$$

全 slice のまさつ抵抗 moment

$$= \int_0^{2\pi} R^2 h \gamma_t \frac{\tan\phi}{\tan^2\theta + 1} d\theta \quad \dots \dots \dots (2.13)$$

すべり円全長(又は部分長)に亘る粘着抵抗

$$moment = \int_0^{2\pi} R^2 C_o \cdot d\theta \quad \dots \dots \dots (2.14)$$

$$\text{すべり円の安全率} = \frac{\int_0^{2\pi} R \cdot h \cdot \gamma_t \frac{\tan\phi}{\tan^2\theta + 1} d\theta + \int_0^{2\pi} R^2 C_o \cdot d\theta}{\int_0^{2\pi} R \cdot h \cdot \gamma_t \frac{\tan\theta}{\tan^2\theta + 1} d\theta} \quad \dots \dots \dots (2.15)$$

である。(2.15)式の定積分は $h \cdot \gamma_t$ の変化が連続である区间について Simpson 法則により求め、区间毎の定積分を合計するのである。1つの区间について $h \cdot \gamma_t$ の値は3つを必要とするわけである。 $\tan\theta$ は、 θ を測る必要ではなく 直角2辺の比として分数形で間に合るので、本方法の利点である。分割 slice 幅も特に狭くする必要もなく、 θ に応ずる $h \cdot \gamma_t$ が連続でさえあればよい ここで3本の h も長さを測ればよいで何からの面積という形を必要としないのも利点である

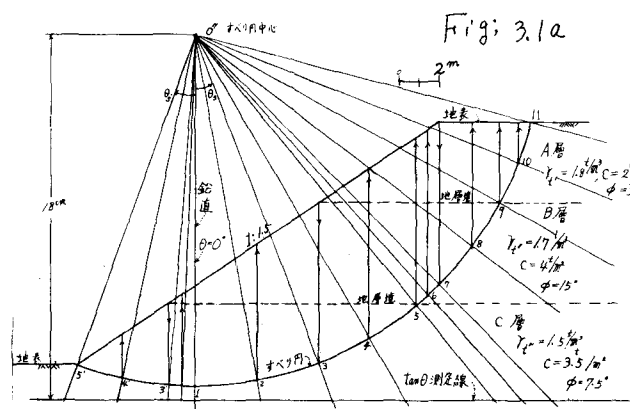
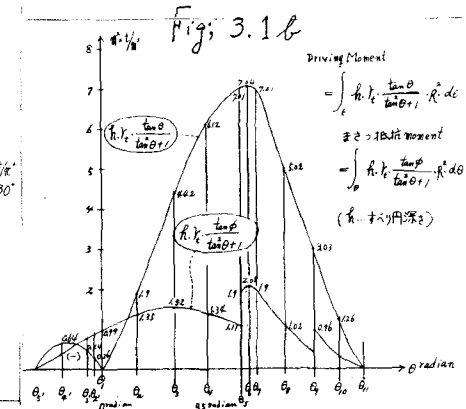


Fig. 3.1a



§3. 計算例. 高さ12m, 法勾配1:15の3層からなる盛土のdriving moment及びまさつ抵抗moment, 粘着抵抗momentを、3通りについて、定積分で求め安全率をcheckすること

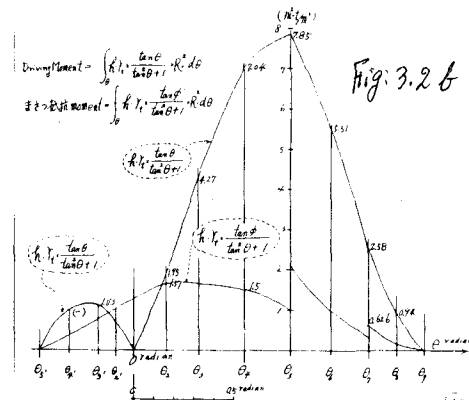
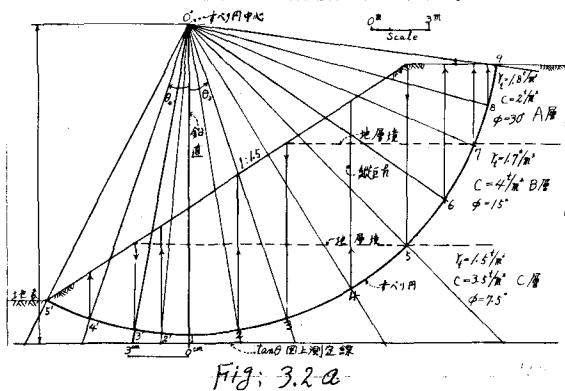
(解)すべり円の奥7における接線が水平と45°にある1円を描く(Fig; 3.1a)である。偶数 subtitle のθは奇数θの中央奥であり Simpson 式の中央縦巨奥になる。 $\theta = 45^\circ$ のとき $\tan \theta / (\tan^2 \theta + 1)$ が最大であり、これと最大の f_t と組合わせるわけである。 $\theta_3 \sim \theta_5$ 区間は実数が連續するのでその driving moment を例として Simpson 公式によって求めめる。

$$\begin{aligned} &= \frac{\theta_3 - \theta_5 \text{ radian}}{6} \left\{ h_3 \cdot Y_t \frac{\tan \theta_3}{\tan^2 \theta_3 + 1} + 4 h_4 \cdot Y_t \frac{\tan \theta_4}{\tan^2 \theta_4 + 1} + h_5 \cdot Y_t \frac{\tan \theta_5}{\tan^2 \theta_5 + 1} \right\} \times R^2 \\ &= \frac{(0.3661 - 0.6931) \text{ radian}}{6} \left\{ 13.23 \frac{m^2 t/m^3}{m} \times \frac{1}{7.147} \times \frac{6.9 \text{ cm}}{18 \text{ cm}} + 4 \times 14.04 \frac{m^2 t/m^3}{m} \times \frac{0.585}{7.342} + 14.26 \frac{m^2 t/m^3}{m} \right. \\ &\quad \left. \times \frac{1}{7.691} \times \frac{14.95 \text{ cm}}{18 \text{ cm}} \right\} \times R^2 = 0.0542 \left\{ 4.42 + 24.46 + 7.01 \right\} \times R^2 = R^2 \times 1.945 \frac{m^2 t/m^3}{m} \dots (3.1) \end{aligned}$$

(3.1)式の $1.945 \frac{m^2 t/m^3}{m}$ は Fig; 3.1fにおいて θ_3, θ_5 を通る鉛直線の面積に相当している。 $\theta_5 \sim \theta_7 \sim \theta_9$ までの区間全城において関数連續区間毎の定積分を Simpson 式で求め合計すると driving moment $= -0.1528 R^2 + 5.0834 R^2$ が得られる。まさつ抵抗 moment 粘着抵抗 moment までも求められる。結果は (3.2)式のとおりである

$$\text{すべり円の安全率} = \frac{1.6744 R^2 + 5.640 R^2}{-0.1528 R^2 + 5.0834 R^2} = \frac{7.3144 R^2}{4.9306 R^2} = 1.483 \dots \dots \dots (3.2)$$

(解)2. すべり円の奥5における接線が水平と45°をなすオ2のすべり円を選定する(Fig; 3.2a), Fig; (3.2b) である



Driving moment 分布図の山頂高さをもうすこしだ大きくする様肩直下のすべり円の深さ即ち h を大にする様 O'' をえらんだ。奥5におけるすべり円接線が 45° にある様えらんだので自然に O'' は下がるわけである。

$$\text{すべり円の安全率} = \frac{1.940 R^2 + 6.493 R^2}{-0.367 R^2 + 6.1407 R^2} = \frac{8.433 R^2}{5.774 R^2} = 1.46 \dots \dots \dots (3.3)$$

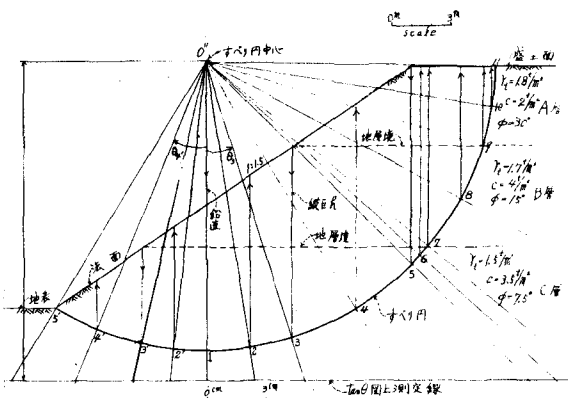


Fig. 3.3a

解3. すべり円の奥ににおける接線が水平と 45° をなす

式3の円を選定してみる。 O'' は下がり且つ右に寄るがの限度はこれ位の値である。

$$\text{すべり円の安全率} = \frac{2.119R^2 + 7.165R^2}{-0.6025R^2 + 6.898R^2} = \frac{9.285R^2}{6.296R^2} = 1.475 \quad (3.3)$$

driving moment のマイナス部と、まさつ抵抗 moment が大きい

Q4. 結論、すべり円の中心はどう探す可きかを考えたわけであるが、以上の事から
その位置はなるべく法尻を通る鉛直線に近寄ること、つまりマイナス driving moment の
発現がすくなく、 θ_1, θ_2 の最大奥で θ が 45° をなす際に、また全日は出来るだけ大きい様
つまりすべり円半径 R は小さい方がよい、こうして driving moment の大きさを標準選んで、これに対するまさつ抵抗 moment、粘着抵抗 moment はどうなるか規則性はない
事だから、試算で求め、その割合を考えることとなる (1981. 2. 22)

補遺 (3.1)式において

$$h_3 \cdot Y_t = 2.85 \text{ m}^2 \times 1.7 \text{ t/m}^3 = 13.23 \text{ m}^2 \cdot \text{t/m}^3, \quad h_4 \cdot Y_t = 1.65 \text{ m}^2 \times 1.5 \text{ t/m}^3 + 5 \text{ m}^2 \times 1.7 \text{ t/m}^3 + 17 \text{ m}^2 \times 1.8 \text{ t/m}^3 = 14.04 \text{ m}^2 \cdot \text{t/m}^3$$

$$h_5 \cdot Y_t = 5 \text{ m}^2 \times 1.7 \text{ t/m}^3 + 3.2 \text{ m}^2 \times 1.8 \text{ t/m}^3 = 14.26 \text{ m}^2 \cdot \text{t/m}^3$$

$$\tan \theta_3 = \frac{6.9 \text{ cm}}{78 \text{ cm}} \quad \therefore \theta_3 = 0.3661 \text{ radian} \quad \tan \theta_5 = \frac{14.95 \text{ cm}}{78 \text{ cm}} \quad \therefore \theta_5 = 0.6931 \text{ radian}$$

$$\tan \theta_4 = \frac{\tan \theta_3 (\sqrt{\tan^2 \theta_5 + 1} + 1) + \tan \theta_5 (\sqrt{\tan^2 \theta_3 + 1} + 1)}{(\sqrt{\tan^2 \theta_3 + 1} + 1) \times (\sqrt{\tan^2 \theta_5 + 1} + 1) - \tan \theta_3 \cdot \tan \theta_5} = 0.585$$

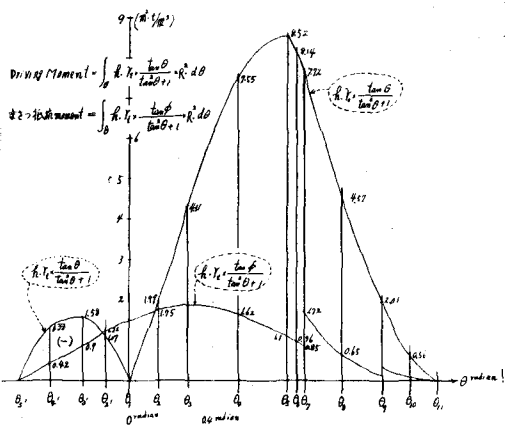


Fig. 3.3b